

KAWASAKI STEEL GIHO

Vol.13 (1981) No.2

Properties of Steels in Steel Wire Rods and Bars

Properties of Scales on Steel Wire Rods and Bars

峰 公 雄*

Kimio Mine

藤 田 利 夫**

Toshio Fujita

佐々木 徹*

Toru Sasaki

田 中 智 夫***

Tomoo Tanaka

佐 藤 周 三****

Shuzo Sato

野 田 昭 雄*****

Akio Noda

中 尾 俊 朗*****

Toshiro Nakao

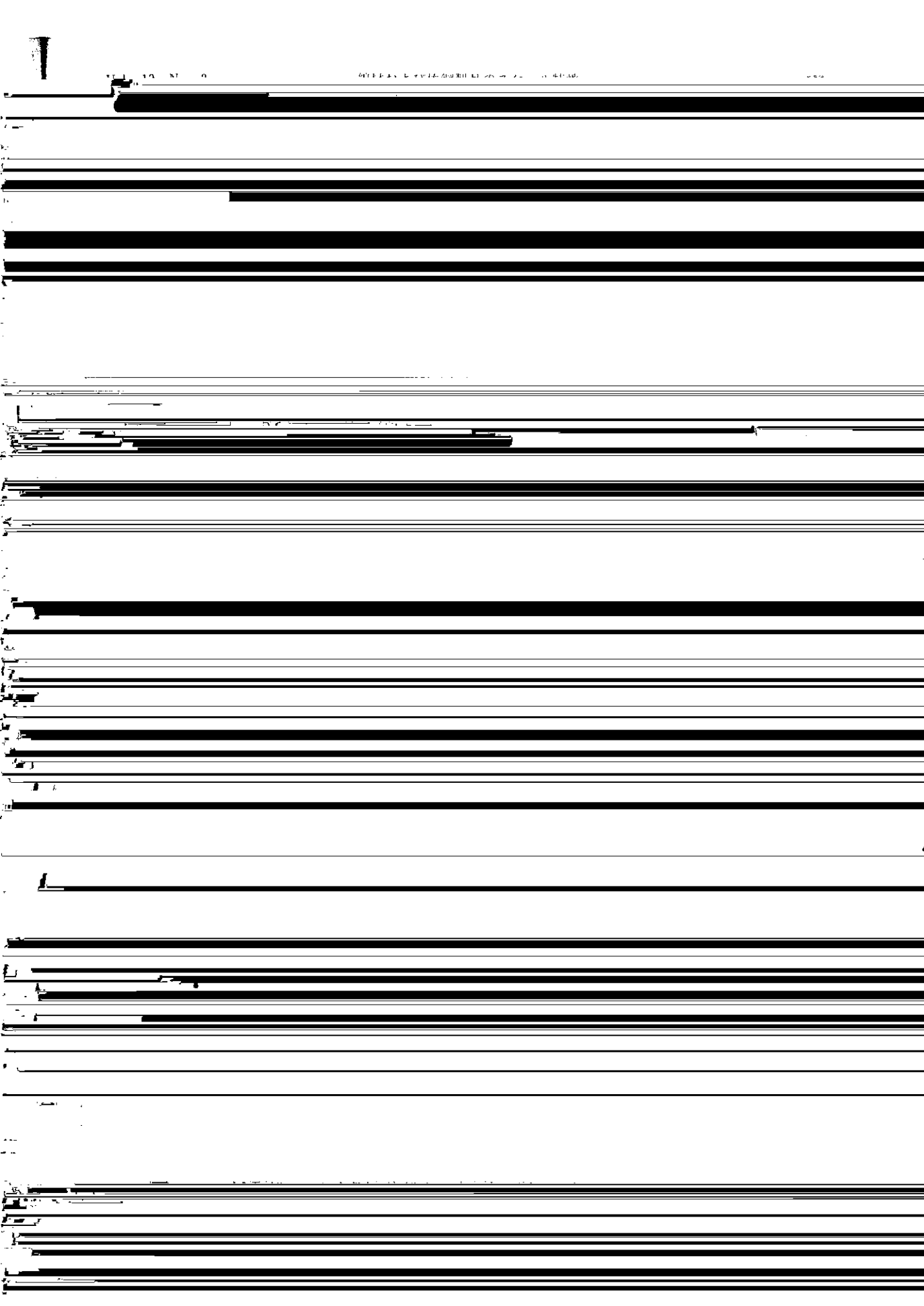
Synopsis:

The present experiment was intended to investigate the effect of chemical composition and cooling condition on the growth and removal of scales formed on hot-rolled wire rods and bars of rimmed, Al-killed, Al-Si-killed, and Si-killed steels. The results obtained are given below:

(1) Scale thickness increases with an increasing S content. It is, however, reduced by the addition of Si and/or

Al.

(2) Scale properties suitable for mechanical descaling are improved with an increase in scale thickness within



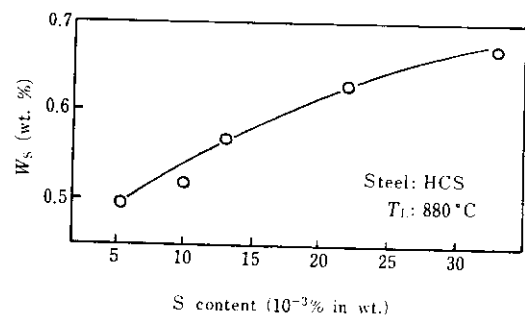
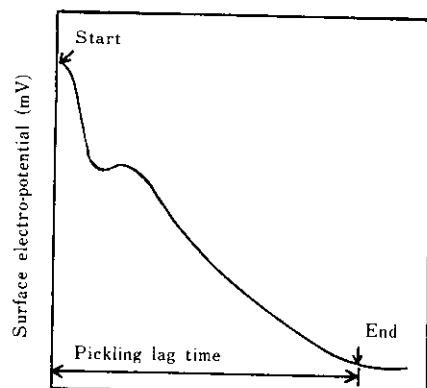


Fig. 3 Effect of S content on the amount of scale formed on 5.5mm ϕ wire rods

うな構造を有する場合には、スケールが局部的に

る。

+ E₂₊ ノナ・トリルの生成割合は、アセチルアセト酸の濃度によって調節することができる。

が多いほど W_{RS} は少なく、剥離性は良好となることがわかる。同様な傾向はリバースベンディングローラを使用した実験でも確認された。

棒鋼のベンディングローラ通過後のショットブラストによる剥離性を Table 2 に示す。スケール

μm 程度の厚さで、2mm 以下の円形ないしは梢円形を呈する。2 次スケールの後で生成するので、3 次スケールと呼ぶべきものであるが、一般には magnetite seam^{3~5)} と呼ばれている。地鉄側に、FeO 層、外側に薄い Fe_3O_4 層からなる構造であ

3・4 スケールと地鉄界面に形成される物質について

果を Fig. 13 に示す。 t_p は t_S が厚くなるとともに

Table 3. Diffraction count from the 2.67 Å

スケールの生成量および剥離性は鋼種ならびに

grating plane

S量によって大きく影響を受けるので、地鉄とスカイバスの運賃に側面補助が導入して、スカイバス

Steel	S (wt. %)	Diffraction count
-------	--------------	----------------------

長くなる。また、鋼種が異なっても、またFig. 4 によって生じる FeS, SiO₂ あるいは 2FeO·SiO₃ などは、必ずしも同じである。

および冷却時の地鉄とスケールの熱膨張量の差に基づいて生じる応力 σ_e がある。材料を半径 r の円柱とし、スケールに作用する長さ方向の応力 σ_z は近似的に(2)~(4)式で示すことができる。

$$\sigma_z = \sigma_{\phi z} + \sigma_{e z} \quad \dots \dots \dots (2)$$

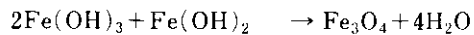
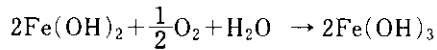
$$\sigma_{\phi z} = (1 - \phi^{1/3}) E_S \quad \dots \dots \dots \quad (3)$$

$$\sigma_{ez} = \frac{E_l \cdot E_s}{E_l + E_s \frac{2t_s}{r}} (\alpha_s - \alpha_l) \Delta T = E_s (\alpha_s - \alpha_l) \Delta T$$

.....(4)

ここで、 E_i , E_S : 鉄とスケールのヤング率
 α_i , α_S : 鉄とスケールの熱膨張係数
 ϕ : 鉄と酸化物の容積比
 ΔT : 温度変化量
 t_S : スケールの厚さ

である。高温の鋼材を高压水で冷却したときに、材料表面に Fe_3O_4 の生成が認められており、この Fe_3O_4 は内層側がち密で密着性に富み、外層は黒色で光沢ある粒状の結晶粒である¹⁵⁾。これは水溶液中で、次式で示されるような反応が起こり、 Fe_3O_4 が生じたものと考えられる。



さらに、この Fe_3O_4 は酸素と反応して Fe_2O_3 の赤さびへと変化する。

$$E_0 \Omega_0 + \frac{1}{\Omega_0} = -2\Gamma \Omega_0$$

σ_{ex} は r が t_5 より圧倒的に大きく、また、FeO のクリープ変形が起らなくなる低温 ($\leq 1100^{\circ}\text{C}$)¹²⁾ でスケールが生成するので、スケールの体積膨張によって、鉄およびスケールは塑性変形しないと
アボルト。

したがって、水冷時間が長く空冷速度が遅い棒鋼の表面に生じる粉状の赤さびは、水冷中に生成した粒状の Fe_3O_4 が大気中で酸化され、 Fe_2O_4 へ変化したものであり、空冷速度が早い場合には、 Fe_3O_4 へのがけしきが生じやすくなる。

今、オーステナイト領域での応力の発生を考え

4·2 機械的剝離性

ない。それゆえ、スケールの剝離性はその厚さの
は捲取温度の上昇あるいは冷却速度の増加で増加